

東北大學 正員 天吹哲哉
東北大學 正員 倉西茂

本論文は、設計荷重程度の側方荷重による初期不整を有する二主桁鋼アーチ橋を対象として種々の鉛直荷重に対する極限強度解析を行ふ。主に、横構剛性がこの極限強度に及ぼす影響について検討したものである。さらに、ここで得た解析結果に基づいて横構の必要剛性を検討を行ふ。また、FEA、ここでは基本的な横構剛性の影響を把握するため、図-1に示したようなアーチ主桁に沿って一様に配置された横構を持つ二主桁セミ elliptical 物線アーチ橋を対象にした検討を行ふ。アーチ橋の場合、その横構がアーチ橋の立体的耐荷機能に及ぼす支配的な影響と、検討上小さな問題となる問題は、横構剛性の不足による生じたアーチ主桁の面外変形が鉛直荷重に対する面外崩壊の誘発要因となる事である。このように観察から、本論文では横構剛性の影響に重視を置いたパラメトリック解析が可能なように横構を2本のアーチ主桁間に取り付けられた状態でバネにし、又、横構をアーチ主桁に付加されたかわり回転バネによって位置を換えて立体極限強度解析を行ふ。横構剛性がアーチ橋の立体耐荷能力に及ぼす影響について検討を行ふ。又、差断バネは、横構の断面積及びトラス組合せ相違等による直接的な影響を回避するため、横構と等価な差断剛性を持つ腹板に置換して算出する。二バネ定数 k_s は図-2-a 参照、(2)式で与えられる。

$$k_s = \frac{3EA_a}{4d\mu_s} \left(\frac{d}{c}\right)^3 \quad (1)$$

$\tau = \pi$ 、 EA_a はアーチ主桁の伸縮剛性、 $d = -10$ メートルの対角線長、 $c = 10$ メートルの幅長である。又、 μ_s は横構剛性を表す $10^6 \text{ N} \times 1 - 2$ 、図-2-a を参照する。次式に表される。

$$\mu_s = \frac{\eta_{web}}{\eta_{arch}} = \frac{3E}{2G} \cdot \frac{A_a}{A_{b,eq}} \left(\frac{h}{c}\right)^2 \quad (2)$$

η_{web} は等価腹板と2の換算断面積を表す。又、付加かわりバネ定数 k_s は、アーチ主桁のかわり剛性を GT、アーチ支間長を L とすれば次式で与えられる。

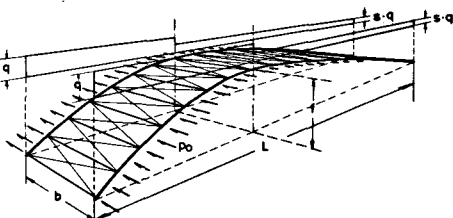


図-1 一般図

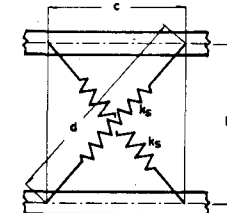
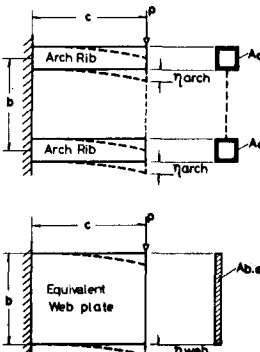


図-2-a, b

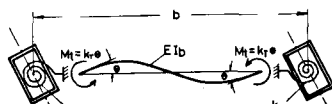
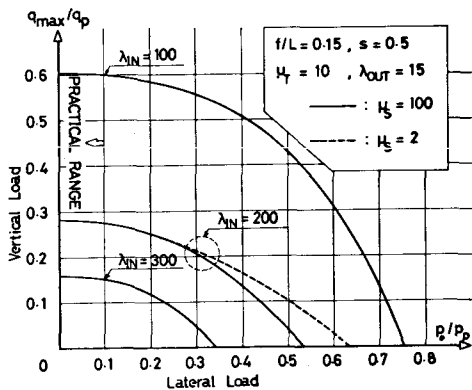


図-3

図-4 q_{max}/q_p - P/P_0 相関曲線

$$k_T = \frac{6G\Gamma_T \cdot C \cdot \mu_T}{L^2} \quad (3)$$

≈ 1 は横軸の持つ付加剛性を表す。よって、次式で与えられる。

$$\mu_T = \frac{EI_b}{G\Gamma_T} \cdot \frac{L^2}{bc} \quad (4)$$

よりのバラメータにつれて、支間長 $100m \sim 300m$ 程度の一般的な鋼アーチ橋 10 頭橋の実験につれて調べた結果、 μ_S につれて 100 程度の値を、さらに λ_{IN} について結果を示す。

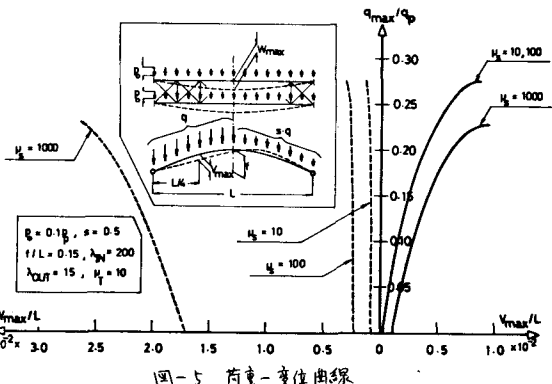


図-5 荷重-変位曲線

又、3-1 橋全断面と、その面外細長比 λ_{OUT} =

$$L_s / \sqrt{\{A_a(b/2)^2 + I_{a,out}\} / A_a} \approx 13.17 \text{ 15 程度の値を, 又, 3-1 橋自身の面内細長比 } \lambda_{IN} \approx 200 \text{ が後の橋ほど大きい。}$$

また、 $\lambda = \infty$ 、最初に = 3 の平均的な構造諸元を持つアーチ橋につて側方等分布荷重強度 p_c と鉛直限荷重 q_{max} との関係を検討した。図-2 によると、 $\lambda = \infty$ の結果と $\lambda = \infty$ 3-1 橋全断面の文献 1) で採用した標準薄肉箱形断面を用いても使用した。

又、解折時で 3-1 橋の主桁及び断面の分割数は計算容量の関係上 10 本～24 分割とし、たゞ、定性的な影響は十分把握できなかった。

図中の p_c は 3-1 橋の 2.2m リギング断面が 2 本の 3-1 橋上作用する側方荷重に対する直立柱全塑性状態における一次理論計算である。一般的な鋼アーチ橋の場合、計算上後、算定、下側方設計荷重は大略 $0.05p_c \sim 0.07p_c$ 程度の値である。従って、 $\lambda = \infty$ 12 個方設計荷重 $\approx 1.2 p_c = 0.1 p_c$ を考慮して、 $\lambda = 0.1 p_c$ の側方初期荷重 ≈ 1.2 載荷、た場合の鉛直限荷重强度と側方荷重を考慮した場合の $\lambda = \infty$ の比は $\lambda_{IN} = 200 / 0.1 p_c = 0.978$ である。標準的な構造諸元を持つアーチ橋につての側方不整の影響はかなり小さくと言える。

さらに図中に鋼アーチ橋の平均的な細長比 $\lambda_{IN} = 200$ の場合につて、横構造剛性と実橋と一致的と採用されていきの値 ($\mu_S = 100$) が 50 倍の 1.7 時合 ($\mu_S = 2$) の結果も示されている。

両者の差は、側方初期荷重が $\mu_S = 100$ の 3-1 橋と 1.7 倍側方荷重の 24 本作用する場合 (図中の $q_{max} = 0$ に対する p_c の値)

の鉛直限荷重强度が約 $1/2$ 以上である場合に現れるものである。側方荷重の実用的な範囲ではほとんど差異は認められないと思われる。

図-5～図-7 は横構造剛性と鉛直限荷重强度に及ぼす影響を、バラメータとして解折の結果、一部示す。

本論文を行なう多くの方々より、解折結果を総括的検討の結果、次の事項が明らかにされた。

即ち、横構造は少くとも $\mu_S = 100$ の剛性が必要である。又、横構造は $\mu_T = 10$ 程度の剛性を持つことが望ましい。

参考文献 1) 倉西・矢吹：土木学会論文叢集集、No. 272, pp 1-12, 1977

2) 矢吹・倉西：第 34 回年次学術講演概要集、I-140

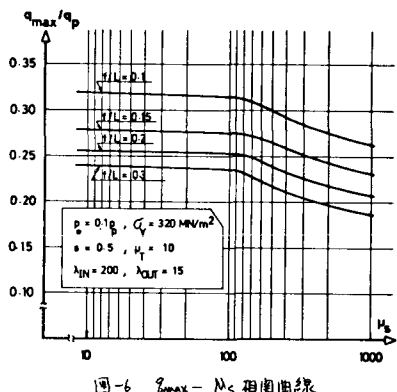


図-6 $q_{max} - \mu_S$ 相関曲線

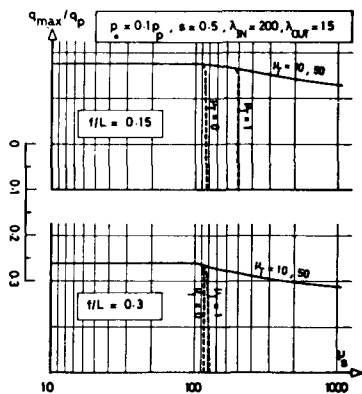


図-7 $q_{max} - \mu_S$ 相関曲線